

## مطالعه کلینوپیروکسن موجود در سنگ‌های آتشفسانی ائوسن جنوب‌غرب چوپانان (ایران مرکزی، استان اصفهان)

زهرا گلی<sup>۱\*</sup> و قدرت ترابی<sup>۱</sup>

۱- گروه زمین‌شناسی، دانشکده علوم، دانشگاه اصفهان، اصفهان

\*Zahragoli67@gmail.com

دریافت: ۹۳/۸/۱۸ پذیرش: ۹۳/۲/۱۰

### چکیده

سنگ‌های آتشفسانی جنوب‌غرب چوپانان که بخشی از بلوك یزد را در زون ساختاری ایران مرکزی تشکیل می‌دهند، عمدها شامل گذازه‌ها و آذرآواری‌ها می‌باشند. این مجموعه‌ی سنگی به سن ائوسن بوده و اغلب ترکیب آندزیت را دارا می‌باشد که با روند شمال‌شرق-جنوب غرب در امتداد گسل‌های منطقه دیده می‌شوند. مهم‌ترین کانی مافیک موجود در سنگ‌های منطقه، پیروکسن است که به صورت فنوکریست قابل مشاهده می‌باشد و در برخی موارد متحمل دگرسانی شده است. پیروکسن‌های موجود در این سنگ‌ها از لحاظ ترکیب شیمیایی از نوع دیوپسید و اوژیت هستند. ترکیب پیروکسن و تلفیق نتایج آن‌ها با بررسی‌های صحرایی مشخص می‌سازد ماجمای سازنده‌ی سنگ‌های آتشفسانی ائوسن جنوب‌غرب چوپانان کالک‌آلکالن بوده و از لحاظ جایگاه تکتونوماگماتی در قلمرو قوس آتشفسانی قرار دارد. توزیع AI در موقعیت‌های تتراندروی و اکتاندروی نشان می‌دهد که این کانی در فشارهای کم و از یک ماجمای آبدار متبلور شده است. محتوی آهن فریک پیروکسن نیز معرف بالا بودن فوگاسیته اکسیژن در محیط تبلور ماجمای میزان است.

**واژه‌های کلیدی:** سنگ‌های آتشفسانی، ائوسن، کلینوپیروکسن، چوپانان، ایران مرکزی.

شمارش ۴۰ ثانیه مورد آنالیز قرار گرفتند. رسم نمودارها با Corel به کارگیری نرم‌افزارهای 2.02 MinPet و Presentation10 انجام شده است. جهت محاسبه‌ی فرمول ساختاری کانی‌ها و تفکیک  $\text{Fe}^{+2}$  و  $\text{Fe}^{+3}$  از روش استوکیومتری استفاده شده است [۱۴]. نتایج آنالیزهای ژئوشیمیایی کانی کلینوپیروکسن در جدول ۲ آورده شده است.

### مقدمه

دوران سوزوئیک در ایران دوران فعالیت گسترده ماجماتیسم به ویژه ولکانیسم بوده است که نتیجه این فعالیت‌ها ایجاد سنگ‌های آتشفسانی و آذرآواری فراوان در بخش‌های مختلف ایران می‌باشد [۴] (شکل ۱). کلینوپیروکسن‌های موجود در سنگ‌های آتشفسانی از نظر سنگ‌شناختی بسیار اهمیت دارند؛ زیرا ترکیب آن‌ها بر اساس شیمی گذازه‌های میزان آن‌ها تغییر می‌کند. با توجه به ماهیت کانی کلینوپیروکسن می‌توان از ترکیب این کانی برای بررسی سرنشیت ماجمای اولیه استفاده نمود.

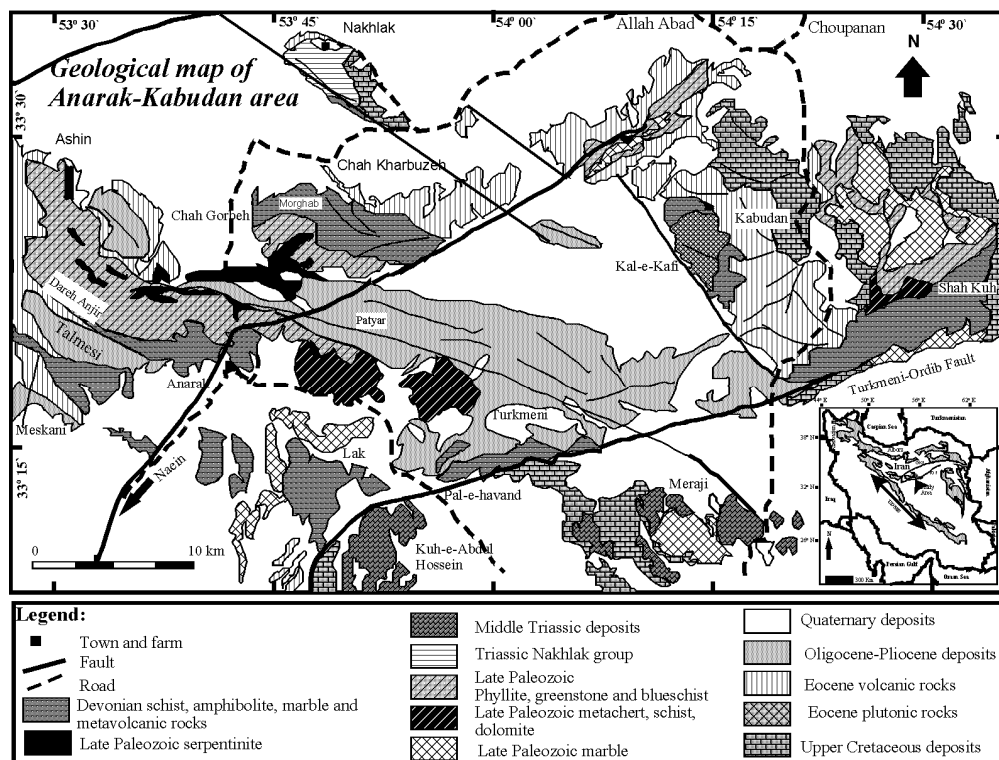
### روش مطالعه

سنگ‌های آتشفسانی ائوسن در شمال‌شرق انارک و جنوب غرب چوپانان (بخش‌های شمال‌شرقی استان اصفهان) بین طول‌های جغرافیایی ۵۴°۳۰' الی ۵۴°۳۰' شمالی و عرض‌های جغرافیایی ۳۳° ۲۳' الی ۳۳° ۲۳' شرقی دارای رخنمون خوبی هستند. در تقسیمات زون‌های زمین‌شناسی ایران، این منطقه در زون ساختاری ایران مرکزی قرار دارد [۵ و ۲۶]. علوی [۸] در پنهان‌بندی دقیق ایران مرکزی منطقه مذکور را بخشی از بلوك یزد می‌داند و زمین‌شناسان روسی در پژوهش تکنواکسپورت [۲۹] در مطالعات ناحیه‌ای خود این منطقه را جزئی از ماسیف انارک-خور محسوب کردند.

به منظور دسترسی به اهداف این پژوهش، پس از بررسی صحرایی و نمونه‌برداری از واحدهای مختلف سنگ‌شناسی، ۳۹ مقطع نازک تهیه شد و مطالعات پتروگرافی صورت گرفت. در مرحله‌ی بعد با استفاده از دستگاه مایکروپریوب Jeol مدل JXA-8800 در دانشگاه کانازاراوا، ۷ نقطه از ۳ کانی کلینوپیروکسن سالم در دو سنگ متفاوت در شرایط ولتاژ شتاب دهنده ۱۵KV، شدت جریان ۱۵nA و زمان

کالکافی، شمال انارک و خونی با روند شمال شرق-جنوب غرب اشاره نمود [۱]. رخمنون سنگ‌های آتشفسانی منطقه عمده‌اً از روند این گسل‌ها تعیین می‌کند. موقعیت این منطقه بر روی نقشه‌ی ایران و موقعیت گسل‌ها در شکل ۱ نشان داده شده است.

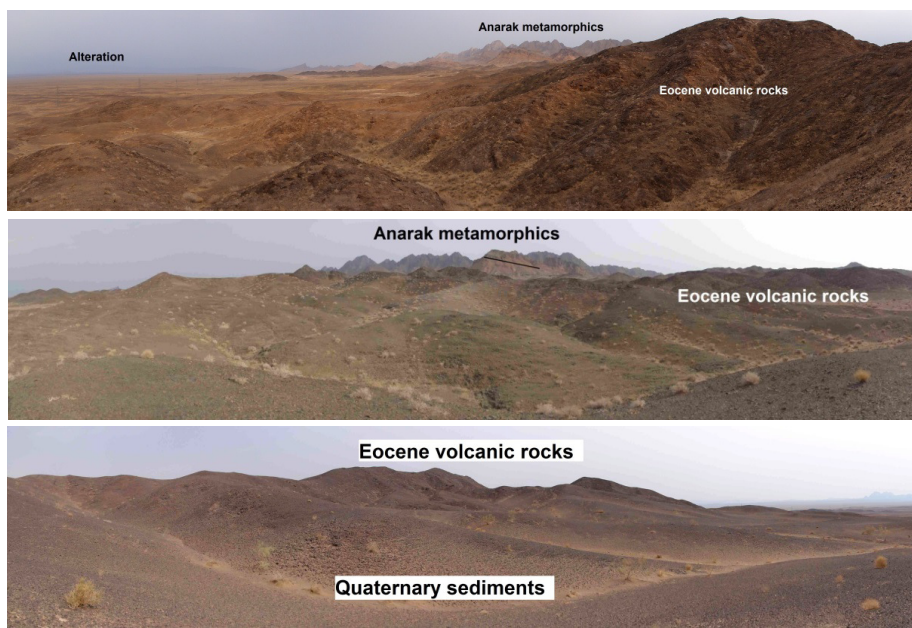
منطقه مورد بررسی از نظر ساختاری در بین دو گسل امتداد لغز بزرگ، گسل کویر بزرگ (گسل درونه) در شمال و گسل ترکمنی- اوردیب (گسل بیابانک) در جنوب قرار دارد. گسل چوپانان که از گسل‌های اصلی و بسیار مهم ایران مرکزی است از منطقه‌ی مورد بررسی عبور می‌کند. از گسل‌های فرعی مهم در منطقه می‌توان به گسل‌های



شکل ۱. نقشه زمین‌شناسی ساده شده‌ی انارک تا کبودان و موقعیت سنگ‌های آتشفسانی اؤسن منطقه جنوب غرب چوپانان (بر اساس نقشه‌ی ۱/۲۵۰۰۰ خور و انارک)

زمین‌شناسی منطقه انارک تا جندق توسط افراد مختلفی مطالعه گردیده است. احمدیان و همکاران [۶] مجموعه سنگ‌های پلوتونیک کالکافی واقع در شمال شرق انارک را یکی از پدیده‌های ماقمایی وابسته به کوه‌زایی پیرنه در زون ساختاری ایران مرکزی دانسته و زمان رخداد این پلوتونیسم را به اؤسن میانی نسبت می‌دهند. همچنین بهادران [۲] موقعیت زمین‌شناسی سنگ‌های ولکانیک اؤسن منطقه عروسان کبودان در ایران مرکزی را نسبت به کمان ماقمایی ارومیه- دختر در یک محیط پشت قوس در نظر گرفته است. سیاری [۳] علت رخداد ولکانیسم اؤسن شمال انارک را به فروزانش نئوتیس و ادامه برخورد قاره‌ای در زمان اؤسن نسبت داده است.

تعیین سن سنگ‌های آتشفسانی مورد مطالعه با روش -K عدد ۵۳ میلیون سال (اؤسن زیرین - میانی) را به دست داده است [۷]. این سنگ‌های ولکانیک اؤسن در شمال غرب توده‌ی نفوذی کالکافی و کوه خونی قرار دارند. مجموعه‌ی نفوذی کالکافی نیز از شمال غرب به مجموعه‌ی دگرگونی انارک محدود می‌شود که توسط زمین‌شناسان روسی و ریز و محافظ [۲۴] (براساس تعیین سن شیسته‌ها با روش Rb-Sr ۸۴۵ میلیون سال) به پرکامبرین نسبت داده شده‌اند. سنگ‌های افیولیتی انارک که توسط مجموعه‌ی دگرگونه‌های انارک پوشانده شده‌اند، قدیمی‌ترین سنگ‌های منطقه محسوب می‌شوند. سنگ‌های آتشفسانی اؤسن بر روی سازنده‌های کرتاسه و در مواردی دگرگونی‌های انارک قرار دارند (شکل ۲).



شکل ۲. تصاویر صحرايی منطقه‌ی جنوب غرب چوبانان (سنگ‌های آتشفسانی ائوسن در کنار مجموعه‌ی دگرگونی‌های انارک و نمایی از سنگ‌های آتشفسانی ائوسن به همراه رسوبات کواترنری)

پیروکسن‌ها در تمام واحدهای سنگی به صورت فنوکریست دیده می‌شوند و اساساً از نوع کلینوپیروکسن می‌باشند. این فنوکریست‌ها به صورت بلورهای نیمه شکل‌دار و شکل‌دار هستند (شکل ۳). در بررسی سنگ‌شناسی، شواهد بافتی به خوبی نشان می‌دهد که کلینوپیروکسن‌ها اولین کانی‌های متبلور در این سنگ‌ها می‌باشند.

کلینوپیروکسن‌ها بر اثر دگرسانی و هجوم محلول‌های ابدار به داخل شبکه‌ی آن در اغلب موارد کربناته شده و تنها بخش‌هایی از آن‌ها قابل رؤیت است؛ در پاره‌ای موارد نیز به طور کامل دگرسان شده و قالبی از آن بر جا مانده است (شکل ۳).

#### شیمی پیروکسن‌های سنگ‌های ائوسن جنوب غرب چوبانان

کلینوپیروکسن‌های موجود در سنگ‌های ولکانیک ائوسن منطقه جنوب‌غرب چوبانان در نمودار J-Q-Quad (Quad) قرار پیروکسن‌های کلسیم-آهن-منیزیم (Mg+Fe<sup>2+</sup>) در عین حال مقدار ناچیزی از کلریت، کلسیت، کوارتز و در مواردی پرهنیت به عنوان کانی‌های ثانویه در این

$$Q=Ca+Mg+Fe^{2+}$$

$$J=2Na$$

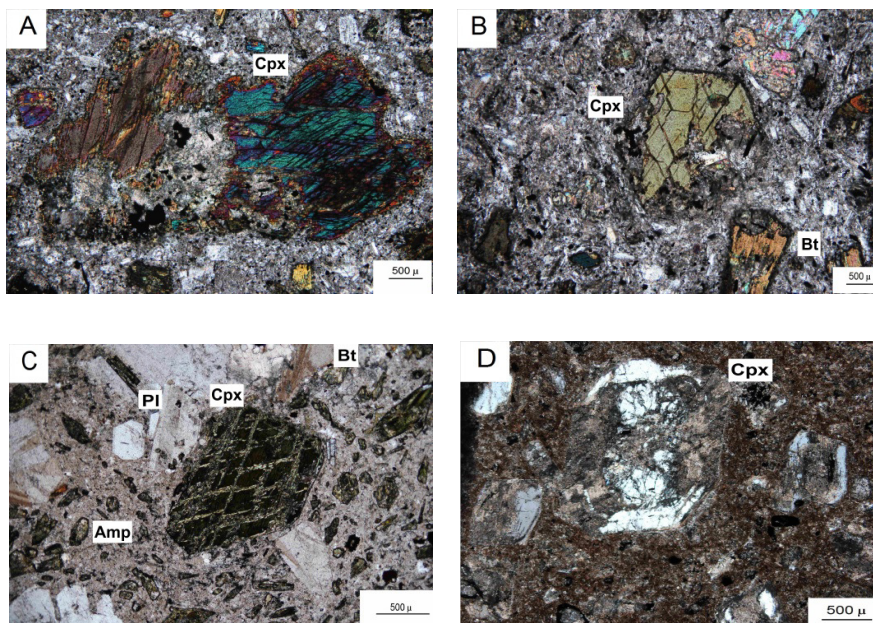
#### پتروگرافی سنگ‌های ولکانیک ائوسن جنوب غرب چوبانان

سنگ‌های آتشفسانی ائوسن در جنوب‌غرب چوبانان که طی چند فاز فوران کرده‌اند به صورت گدازه‌ها و سنگ‌های آذر آواری بروزد دارند. بر اساس مطالعات پتروگرافی، این سنگ‌های آتشفسانی از نظر ترکیب شیمیایی در طیف نسبتاً اسیدی تا حد واسطه قرار می‌گیرند. سنگ‌های آتشفسانی تا نیمه آتشفسانی منطقه شامل آندزیت، تراکی آندزیت و داسیت بوده که برخی حاوی زنولیت‌هایی از جنس سنگ میزان و توف می‌باشند. آندزیت‌ها بیشترین فراوانی را به خود اختصاص داده‌اند. سنگ‌های آذر آواری منطقه نیز شامل توف سنگی، توفیت و برش توفی متامیل به قرمز می‌باشند. بافت‌هایی نظیر پورفیری، پوئی‌کیلیتیک، گلومروپورفیری، غربالی و جریانی در سنگ‌های این منطقه رایج است.

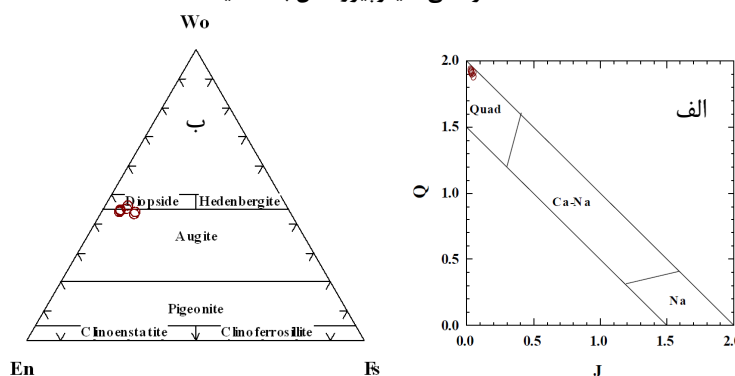
از نظر کانی‌شناسی، سنگ‌های منطقه شامل کوارتز، فلدسپار پتاسیم، پلاژیوکلاز و کانی‌های مافیک همچون بیوتیت، پیروکسن و آمفیبول می‌باشند. کانی‌های فرعی این سنگ‌ها شامل زیرکن، آپاتیت، اسفن و مگنتیت است. در عین حال مقدار ناچیزی از کلریت، کلسیت، کوارتز و سنگ‌ها به چشم می‌خورد.

ملاحظه می‌شود ترکیب این کانی عمدتاً در محدوده‌ی دیپسید تا اوژیت می‌باشد. عدد منیزیمی در این از ۰/۸۴ تا ۰/۹۳ در نوسان است.

با توجه به قرار گرفتن نمونه‌ها در محدوده‌ی Quad می‌توان برای تعیین ترکیب شیمیایی پیروکسن از نمودار Wo-En-Fs استفاده نمود [۲۰]. همانگونه که در شکل ۴ ب



شکل ۳. تصاویری از فنوکریست‌های کلینوپیروکسن در سنگ‌های آتشفشاری ائوسن جنوب غرب چوبانان در نور پلاریزه A. کلینوپیروکسن در مقطع عرضی با خلیج خوردگی در اطراف B و C. فنوکریست کلینوپیروکسن سنگ‌های آتشفشاری منطقه دگرسانی کلینوپیروکسن به کلسیت

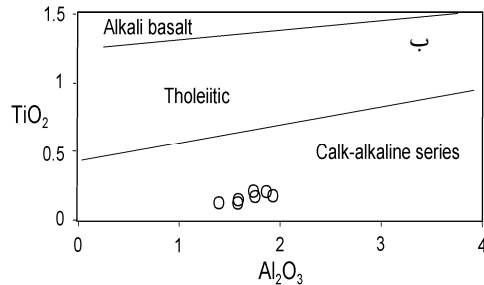


شکل ۴. (الف) نمایش ترکیب پیروکسن‌های موجود در سنگ‌های آتشفشاری ائوسن جنوب غرب چوبانان در نمودار  $Q = \text{Wo} - \text{En} - \text{Fs}$  (J =  $2\text{Na} + \text{Ca} + \text{Mg} + \text{Fe}^{2+}$ ) و (ب) نمودار مثلثی (J =  $2\text{Na} + \text{Ca} + \text{Mg} + \text{Fe}^{2+}$ ) موقعیت کلینوپیروکسن‌های جنوب غرب چوبانان [۲۰]

**تعیین سری ماقمایی با استفاده از شیمی کلینوپیروکسن**  
پژوهشگران بسیاری مانند [۲۰، ۱۷، ۲۲، ۱۸، ۱۰] بر وابستگی ترکیب شیمیایی پیروکسن‌ها بر ترکیب ماقمایی میزان تأیید کرده‌اند و این امر باعث اهمیت کلینوپیروکسن در تعیین سری ماقمایی و موقعیت تکتونیکی سنگ میزان شده است.

**بحث و بررسی**  
در استفاده از ترکیب کانی‌های مختلف موجود در سنگ‌های ولکانیک ائوسن جنوب غرب چوبانان، برای بررسی ماهیت ماقمای اولیه و سنگ خاستگاه، کلینوپیروکسن بهترین انتخاب بوده زیرا این کانی شاخص سنگ زایشی می‌باشد. بررسی ترکیب کلینوپیروکسن در سنگ‌های ولکانیک ائوسن جنوب غرب چوبانان نشان می‌دهد که:

همچنین بر اساس مقادیر  $\text{Al}_2\text{O}_3$  در مقابل  $\text{TiO}_2$  نمودار دیگری برای تفکیک سری‌های ماغمایی آلکالن، تولئیتی و کالک‌آلکالن توسط [۱۷] ارائه شده است که با استفاده از آن و ترکیب شیمیایی کلینوپیروکسن نمونه‌های مورد بررسی در محدوده‌ی سری کالک‌آلکالن قرار می‌گیرند (شکل ۵ ب).

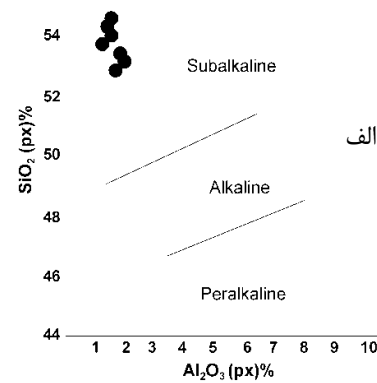


شکل ۵. تعیین نوع سری ماغمایی سنگ‌های جنوب‌غرب چوپانان با استفاده از ترکیب کلینوپیروکسن‌ها [۱۷]

برای تعیین موقعیت تکتونیکی، از نمودار  $\text{Ca}$  در مقابل  $\text{Ti}$  [۲۷] استفاده شده است. در این نمودار نمونه‌های با میزان بالای  $\text{Ti}$  در محدوده‌ی غیر کوهزایی و مربوط به محیط‌های گسترش قرار می‌گیرند. در صورتی که نمونه‌های با میزان بالای  $\text{Ca}$  در قسمت مربوط به کوهزایی واقع می‌شوند، بر اساس موقعیت نمونه‌های مورد بررسی در این نمودار منشأ سنگ‌های آتشفسانی اؤسن جنوب‌غرب چوپانان محیط‌های کوهزایی می‌باشد (شکل ۶ ب). با استفاده از میزان  $\text{Al}^{IV}$  در برابر  $\text{Ti}$  نیز می‌توان به محیط تکتونیکی سنگ‌های مورد بررسی پی برد [۱۰]. پایین بودن میزان  $\text{Ti}$  در فرمول ساختمانی پیروکسن سنگ‌های ولکانیک اؤسن جنوب‌غرب چوپانان مشخص می‌کند که سنگ‌های منطقه‌ی متعلق به کمان‌های آتشفسانی می‌باشد (شکل ۶ الف).

مطابق شکل ۶ د در نمودار ارائه شده از [۱۸] با استفاده از شیمی کلینوپیروکسن‌ها می‌توان بازالت‌های آلکالن، تولئیت‌ها و بازالت‌های جزایر قوسی را تمایز نمود. همانطور که در نمودار  $\text{Ca}$  در برابر  $\text{Ti}+\text{Cr}$  دیده می‌شود کلینوپیروکسن سنگ‌های آتشفسانی مذکور در قلمرو بازالت‌های کالک‌آلکالن قوس‌های آتشفسانی واقع شده‌اند (شکل ۶ د).

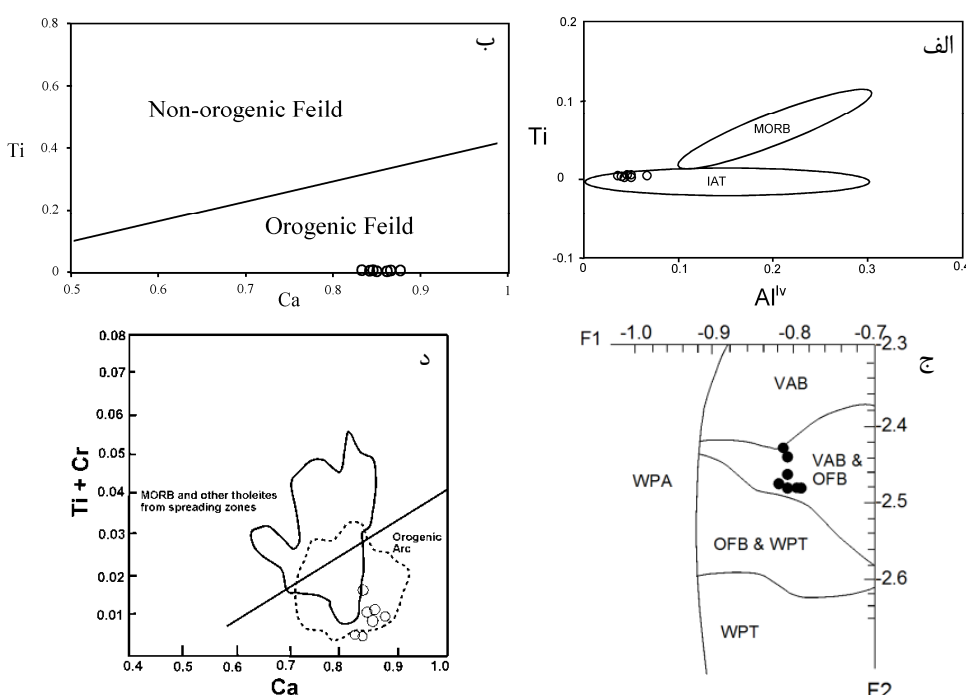
با استفاده از نمودار  $\text{Al}_2\text{O}_3$  در برابر  $\text{SiO}_2$  [۱۷] می‌توان نوع سری ماغمایی را تعیین کرد. موقعیت قرارگیری نمونه‌ها در این نمودار نشان می‌دهد که تمامی نمونه‌های موجود در سنگ‌های آتشفسانی منطقه‌ی جنوب‌غرب چوپانان در قلمرو ساب‌آلکالن قرار می‌گیرند (شکل ۵ الف).



تعیین موقعیت تکتونیکی سنگ‌های ولکانیک اؤسن جنوب‌غرب چوپانان

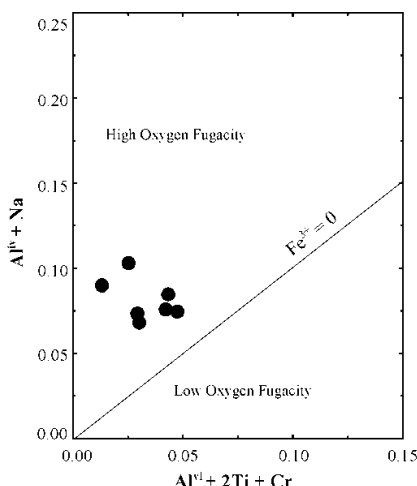
ترکیب کلینوپیروکسن متأثر از شیمی گدازه‌ی میزان آن‌ها است. این ویژگی سبب می‌شود که بتوان از ترکیب شیمیایی این کانی مخصوصاً انواع فنوکریست آن برای تعیین نوع ماغما و موقعیت تکتونیکی گدازه‌ی میزان استفاده کرد. بررسی نمونه‌ها در نمودار  $\text{F1}$  و  $\text{F2}$  بر مبنای داده‌های حاصل از کلینوپیروکسن برای تعیین دقیق‌تر موقعیت تکتونوماغمایی سنگ‌های آتشفسانی اؤسن جنوب‌غرب چوپانان در زمان تشکیل حاکی از آن است که اغلب نمونه‌ها در قلمرو مشترک قوس‌های آتشفسانی و فوران کف اقیانوسی واقع شده‌اند که فرض قوس ماغمایی با بررسی‌های صحرایی و همچنین میزان بالای پتانسیم در سنگ‌های ولکانیک اؤسن جنوب‌غرب چوپانان انتباط دارد (شکل ۶ ج). در تعیین دو فاکتور  $\text{F1}, \text{F2}$  از روابط زیر استفاده شده است [۲۲].

$$\begin{aligned}\text{F1} &= - (0.012 \times \text{SiO}_2) - (0.0807 \times \text{TiO}_2) + (0.0026 \times \text{Al}_2\text{O}_3) - (0.0012 \times \text{FeOt}) - (0.0026 \times \text{MnO}) + (0.0087 \times \text{MgO}) - (0.0128 \times \text{CaO}) - (0.0419 \times \text{Na}_2\text{O}) \\ \text{F2} &= - (0.0469 \times \text{SiO}_2) - (0.0818 \times \text{TiO}_2) + (0.0212 \times \text{Al}_2\text{O}_3) - (0.0041 \times \text{FeOt}) - (0.1435 \times \text{MnO}) + (0.0029 \times \text{MgO}) - (0.0085 \times \text{CaO}) - (0.016 \times \text{Na}_2\text{O})\end{aligned}$$



شکل ۶. استفاده از ترکیب شیمیابی کلینوپیروکسن موجود در سنگ‌های ولکانیک جنوب غرب چوبانان جهت تعیین جایگاه تکتونیکی آن. الف. [۲۷] ب. [۱۸] د. [۲۲] ج. [۱۰]

[۱۳] استفاده از این نمودار نشان می‌دهد که پیروکسن‌های مورد بررسی در بالای خط  $\text{Fe}^{3+}=0$  قرار گرفته است و این امر بیانگر بالا بودن میزان فوگاسیته‌ی اکسیژن در محیط تشکیل سنگ‌های ولکانیک ائوسن جنوب‌غرب چوبانان می‌باشد (شکل ۷).



شکل ۷. تخمین فوگاسیته‌ی اکسیژن مagma با استفاده از پیروکسن‌های سنگ‌های ولکانیک ائوسن جنوب‌غرب چوبانان [۲۵]

تخمین فوگاسیته‌ی اکسیژن در مagma سنگ‌های آتشفسانی ائوسن جنوب‌غرب چوبانان فوگاسیته‌ی اکسیژن تأثیر ویژه‌ای در تغییر دمای لیکویدوس و ترکیب مذاب بلور دارد [۱۵] و عامل مؤثری در کنترل فرآیندهای magma است [۱۲، ۱۹، ۲۳]. برای بررسی وضعیت میزان فوگاسیته‌ی اکسیژن در magma اولیه با استفاده از شیمی کلینوپیروکسن از نمودار مجموع  $\text{Al}^{\text{VI}}+2\text{Ti}+\text{Cr}$  در برابر  $\text{Na}+\text{Al}^{\text{IV}}$  کمک گرفته می‌شود [۲۵]. بر این اساس  $\text{Fe}^{3+}$  در موقعیت اکتاهدری جانشین عناصر سه طرفیتی همچون  $\text{Al}^{\text{IV}}$ ,  $\text{Ti}$ ,  $\text{Cr}$  در ترکیب پیروکسن می‌شود به این ترتیب فراوانی  $\text{Fe}^{3+}$  در پیروکسن‌ها به مقدار  $\text{Al}^{\text{IV}}$  بستگی دارد. در نتیجه هرچه آلومینیوم بیشتری وارد موقعیت تراهدری شود امکان  $\text{Fe}^{3+}$  ورود عناصر سه طرفیتی دیگر به جز آلومینیوم مانند  $\text{Mn}^{2+}$  به موقعیت اکتاهدری بیشتر می‌شود بنابراین در نمودار به نظر اگر نمونه‌ها بالای خط  $\text{Fe}^{3+}=0$  موردنظر باشند، پیروکسن‌ها در فوگاسیته‌ی بالای اکسیژن متبلور شده‌اند و اگر در پایین خط واقع شده باشند نشان‌دهنده‌ی فوگاسیته‌ی پایین اکسیژن می‌باشد. در ضمن هر چه فاصله‌ی نمونه‌ها از این خط بیشتر باشد فوگاسیته‌ی اکسیژن در محیط تشکیل پیروکسن بیشتر بوده است.

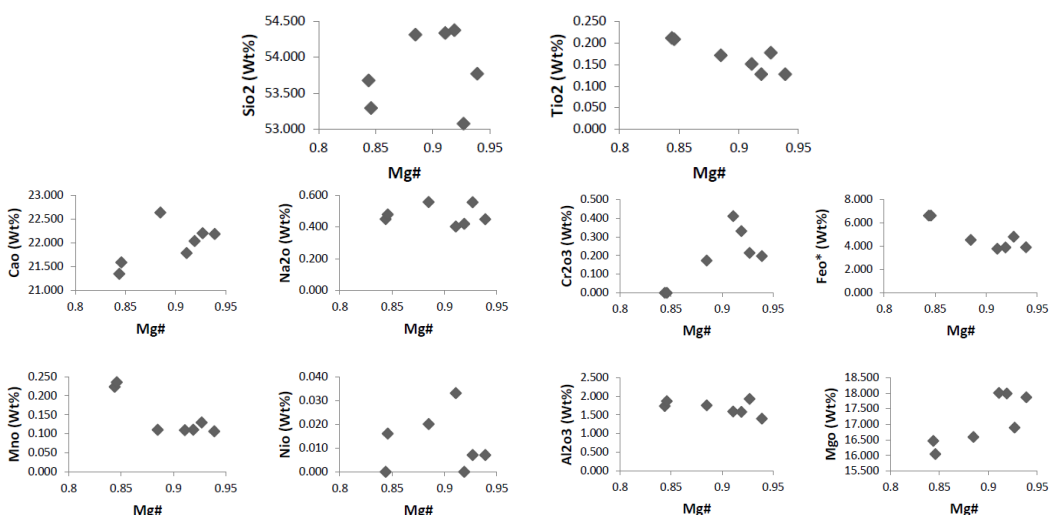
علت کمبود  $TiO_2$  کلینوپیروکسن مربوط به فراوانی بیشتر کانی‌های تیتانیوم‌دار نظری تیتانومگنتیت است. به عبارت دیگر تبلور تیتانومگنتیت باعث خروج تیتانیوم از ماگما و فقر این عنصر در پیروکسن‌های همزیست با آن شده است. تبلور هر چند کم کرومیت در کنار پیروکسن باعث شده که باقی مانده‌ی کروم ماگما وارد شبکه‌ی کرومیت همزیست با پیروکسن شود و به این ترتیب پیروکسن از  $Cr_2O_3$  فقیر شود. کاهش  $Al_2O_3$  نیز مربوط به وفور کانی‌های آلومینیوم‌دار نظری پلازیوکلاز در این سنگ‌ها است؛ زیرا با تبلور پلازیوکلاز، آلومینیوم موجود در ماگما وارد شبکه‌ی این کانی شده و لذا پیروکسن‌های همزیست با پلازیوکلاز از  $Al_2O_3$  فقیر شده‌اند. فقر نسبی پیروکسن از آلومینیوم نشان می‌دهد که این پیروکسن‌ها در فشارهای کمتر و به بیان دیگر در اعمق کمتر متابولور شده‌اند.

کمتر بودن  $CaO$  نیز مربوط به تبلور هم‌زمان پیروکسن با پلازیوکلازهای کلسیم‌دار است چرا که این حادثه باعث ورود کلسیم به شبکه پلازیوکلاز و در عوض تهی شدن پیروکسن‌های همزیست با آن‌ها از کلسیم می‌شود. کاهش مقدار  $Na_2O$  پیروکسن‌ها نیز مربوط به حضور پلازیوکلاز است این موضوع باعث شده پیروکسن‌های همزیست با پلازیوکلاز از سدیم فقیر می‌شود.

### تغییرات ترکیب کلینوپیروکسن در برابر عدد منیزیمی

در نمودارهای تغییرات فراوانی عناصر در مقابل  $Mg\#$  (شکل ۸) به عنوان عاملی که بیانگر پیشرفت تفریق ماگمایی است، فراوانی عناصر نیز همخوان با روند پیشرفت تفریق ماگمایی خواهد بود و نشان از تبلور کلینوپیروکسن‌ها پیش از آلایش و اختلاط ماگمایی دارد. شواهد آلایش و اختلاط ماگمایی در بررسی‌های صحرایی رئوشیمیایی و سنگ‌شناسی قابل مشاهده است. احتمالاً به تبعیت از افزایش درجه تفریق ماگمای سازنده برخی از این سنگ‌ها، فراوانی عناصر اصلی کلینوپیروکسن‌ها دستخوش تغییرات منظم و تدریجی می‌شود. با افزایش عدد منیزیم ( $Mg\#$ ) که خود معرف کاهش درجه تفریق ماگمای سازنده سنگ‌های منطقه می‌باشد،  $TiO_2$ ,  $Cr_2O_3$ ,  $Al_2O_3$ ,  $CaO$ ,  $Na_2O$ ,  $FeO$ ,  $MnO$ ,  $NiO$  کاهش و اکسیدهای  $SiO_2$ ,  $MgO$  افزایش می‌یابند.

افزایش  $SiO_2$  در کلینوپیروکسن‌ها احتمالاً مربوط به کاهش درجه تفریق ماگما بوده است. بنابراین به نظر می‌رسد که این پدیده باعث شده که در زمان تبلور کلینوپیروکسن‌ها به دلیل افزایش  $SiO_2$  در ماگمای سازنده این سنگ‌ها، کلینوپیروکسن‌ها از  $SiO_2$  غنی شود.



شکل ۸. نمودارهای تغییرات ترکیب کلینوپیروکسن‌های سنگ‌های ولکانیک اتوسن جنوب غرب چوبانان در برابر  $Mg\#$

نمودارها در برخی موارد دارای کارابی لازم نیست. همچنین محاسبه # Mg در کانی‌های پیروکسن موجود در این سنگ‌ها حاکی از آن است که مقدار این فاکتور ۸۵ تا ۹۵ درصد می‌باشد. به همین سبب می‌توان این پیروکسن را جزء پیروکسن‌های اولیه محسوب نمود. تحقیقات انجام گرفته توسط [۲۸] نشان می‌دهد که توزیع آلومینیوم در موقعیت اکتاهدری و تراهدری کلینوپیروکسن‌ها به فشار و میزان آب موجود در محیط تبلور بستگی دارد. به این صورت که هر چه میزان  $\text{Al}^{\text{VI}}$  موجود در کلینوپیروکسن‌ها بیشتر باشد این کانی در فشار بالاتری تشکیل شده است. این مسئله اساس دیاگرام رائمه شده توسط [۹] می‌باشد. این نمودار بر اساس مقدار  $\text{Al}^{\text{IV}}$  در برابر  $\text{Al}^{\text{VI}}$  تنظیم شده است و نشان می‌دهد که کلینوپیروکسن‌های آنالیز شده در طیف گسترده‌ای از فشار متوسط تا کم متبلور شده‌اند که احتمالاً بیانگر متبلور آن‌ها در هنگام توقف و همچنین در هنگام صعود است (شکل ۱۰).

در ترمومتری کلینوپیروکسن‌ها از فرمول ارائه شده توسط [۲۱] استفاده گردید که به صورت زیر می‌باشد:

$$T(\text{°K}) = 23166 + 39.28 P(\text{kbar}) / (13.25 + 15.35 \text{Ti} + 4.50 \text{Fe} - 1.55 (\text{Al} + \text{Cr} - \text{Na} - \text{K}) + (\ln a^{\text{Cpx}}_{\text{en}})^2)$$

$$a^{\text{Cpx}}_{\text{en}} = (1 - \text{Ca} - \text{Na} - \text{K}) (1 - 1/2(\text{Al} + \text{Cr} + \text{Na} + \text{K}))$$

نتایج حرارت‌سنجی بر اساس این معادله در جدول ۳ آورده شده است.

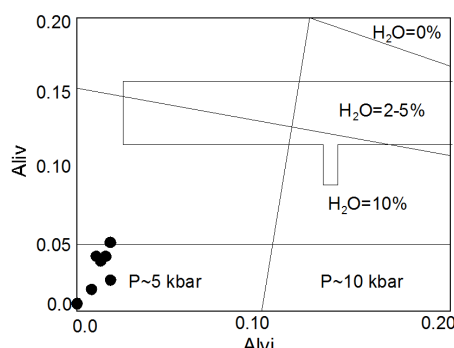
محاسبات دما - فشارسنجی درشت بلورهای کلینوپیروکسن با استفاده از روش [۲۱] میانگین دما را ۱۰۲۶ تا ۱۰۸۶ درجه سانتی‌گراد و میانگین فشار را ۵ کیلوبار نشان می‌دهد.

تعیین مقدار آب ماقمای سازنده‌ی سنگ‌های آتشفسانی اؤسن در جنوب غرب چوبانان توزیع آلومینیم در موقعیت‌های تترادری و اکتاهدری کلینوپیروکسن‌ها میکار مناسبی برای تخمین میزان فشار حاکم بر محیط تشکیل سنگ‌های آذرین است [۱۶]. علاوه بر فشار می‌توان از این نمودار به منظور تعیین مقدار آب ماقمای نیز استفاده نمود.

همانطور که در نمودار (شکل ۹) ملاحظه می‌گردد مقدار  $\text{Al}^{\text{VI}}$  در تمامی نمونه‌های آنالیز شده سنگ‌های ناحیه کمتر از ۰/۱ است که نشانه‌ی تبلور این کانی‌ها در فشار کمتر از ۵ کیلوبار می‌باشد. محتوای آب موجود در ماقمای نیز کمتر از ۱۰٪ است [۱۶].

علاوه بر نمودار ترسیمی، وفور کانی‌های آبداری از قبیل آمفیبول، فلوگوپیت و بیوتیت بیان کننده‌ی آبدار بودن ماقمای در منطقه جنوب غرب چوبانان می‌باشد

ژئوترمومتری با استفاده از شیمی کلینوپیروکسن‌ها تعیین شرایط ترمودینامیکی انجامد ماقمای در پترولوژی سنگ‌های آذرین مسئله‌ای مهم به شمار می‌رود. با استفاده از تعیین دما و فشار تبلور کانی‌ها می‌توان عمق مخزن ماقمایی را تعیین نمود. لازم است قبل از استفاده از پیروکسن در تعیین دما و فشار و فوگاسیته ابتدا سرشت آن‌ها تعیین گردد. با ترسیم نمودار دوتایی  $\text{Al}$  در برابر  $\text{Ti} + \text{Cr} + \text{Na}$  + می‌توان موفق به تفکیک کلینوپیروکسن‌های آذرین و دگرگونی گشت [۱۱]. بر همین اساس با توجه به نمودار (شکل ۱۰ الف) اکثر پیروکسن‌های مورد مطالعه در محدوده‌ی ماقمایی قرار می‌گیرند. بررسی‌های پتروگرافی نشان می‌دهد که این کلینوپیروکسن‌ها نیز مانند بقیه‌ی آن‌ها آذرین هستند و این مسئله نشان می‌دهد که این



شکل ۹. توزیع Al در موقعیت‌های تترادری و اکتاهدری در کلینوپیروکسن‌ها به تناسب فشار و مقدار درصد آب ماقمای [۱۶].

جدول ۱. طول و عرض جغرافیایی محل‌های نمونه‌برداری سنگ‌های آتشفشاری اتوسن جنوب غرب چوبانان به منظور آنالیز مایکروپرورب

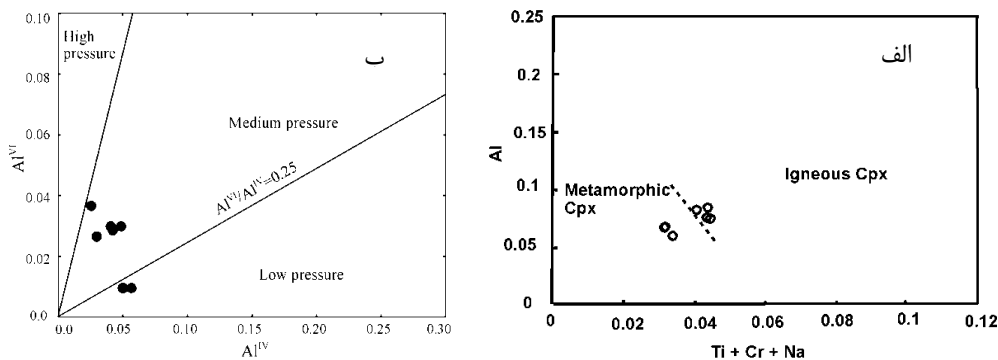
Sample	B300	B303	B306	B312
X	N 33° 27' 11.7``	N 33° 27' 11.7``	N 33° 27' 59.5``	N 33° 30' 38.9``
Y	E 053° 57' 31.8``	E 053° 57' 31.8``	E 053° 57' 56.5``	E 054° 05' 78.3``

جدول ۲. نتایج آنالیز مایکروپرورب فنوکریست‌های کلینوپیروکسن در سنگ‌های آتشفشاری اتوسن جنوب غرب چوبانان

Sample	B300	B300	B303	B303	B303	B303	B303
Analysis	68	69	36	37	48	49	51
SiO <sub>2</sub>	53.677	53.294	54.373	54.336	53.077	54.310	53.770
TiO <sub>2</sub>	0.211	0.208	0.127	0.151	0.177	0.171	0.127
Al <sub>2</sub> O <sub>3</sub>	1.732	1.863	1.579	1.586	1.926	1.753	1.395
Cr <sub>2</sub> O <sub>3</sub>	0.000	0.000	0.330	0.410	0.213	0.172	0.196
FeO*	6.611	6.603	3.870	3.768	4.795	4.524	3.894
MnO	0.223	0.235	0.110	0.109	0.129	0.110	0.106
MgO	16.458	16.038	17.984	18.003	16.889	16.586	17.865
CaO	21.343	21.583	22.034	21.781	22.200	22.632	22.180
Na <sub>2</sub> O	0.449	0.477	0.418	0.401	0.554	0.556	0.447
K <sub>2</sub> O	0.005	0.000	0.000	0.004	0.002	0.000	0.006
NiO	0.000	0.016	0.000	0.033	0.007	0.020	0.007
Total	100.710	100.320	100.830	100.580	99.970	100.830	99.990
Structural formula based on the 6 Oxygens							
Si	1.954	1.950	1.957	1.960	1.933	1.964	1.950
Ti	0.006	0.006	0.003	0.004	0.005	0.005	0.003
Al <sup>IV</sup>	0.046	0.050	0.043	0.040	0.067	0.036	0.050
Al <sup>VI</sup>	0.028	0.030	0.024	0.028	0.016	0.039	0.010
Cr	0.0000	0.0000	0.0090	0.0120	0.0060	0.0050	0.0060
Fe <sup>3+</sup>	0.038	0.042	0.032	0.020	0.074	0.021	0.059
Fe <sup>2+</sup>	0.164	0.159	0.084	0.094	0.072	0.116	0.059
Mn	0.007	0.007	0.003	0.003	0.004	0.003	0.003
Mg	0.893	0.875	0.965	0.969	0.917	0.894	0.922
Ca	0.833	0.846	0.850	0.842	0.866	0.877	0.862
Na	0.032	0.034	0.029	0.028	0.039	0.039	0.031
Ni	0.000	0.000	0.000	0.001	0.000	0.001	0.000
K	0	0	0	0	0	0	0
Sum	4.000	4.000	4.000	4.000	4.000	4.000	4.000
WO	43.048	43.834	43.924	43.687	44.809	45.881	44.218
EN	46.188	45.321	49.881	50.242	47.431	46.784	49.555
FS	10.764	10.845	6.195	6.072	7.760	7.335	6.227
WEF	96.765	96.539	97.024	97.142	95.962	96.039	96.781
JD	1.393	1.433	1.263	1.661	0.720	2.582	0.458
AE	1.842	2.028	1.712	1.197	3.318	1.379	2.761
Mg#	0.844	0.846	0.919	0.911	0.927	0.885	0.939
Type	Augite	Augite	Augite	Augite	Diopside	Diopside	Augite

جدول ۳. نتایج حاصل از ترمومتری کلینوپیروکسن در سنگ‌های آتشفسانی اوسن جنوب غرب چوبانان

Sample	B300	B300	B303	B303	B303	B303	B303
Analysis P (Kb)	68	69	36	37	48	49	51
1.000Kb	987.413	953.292	985.674	1006.522	901.194	868.847	948.820
2.000Kb	989.547	955.367	987.804	1008.688	903.181	870.780	950.888
3.000Kb	991.680	957.443	989.935	1010.854	905.169	872.713	952.956
4.000Kb	993.814	959.519	992.066	1013.020	907.156	874.646	955.025
5.000Kb	995.947	961.595	994.196	1015.185	909.144	876.579	957.093
6.000Kb	998.081	963.670	996.327	1017.351	911.131	878.511	959.161
7.000Kb	1000.214	965.746	998.457	1019.517	913.119	880.444	961.229
8.000Kb	1002.348	967.822	1000.588	1021.683	915.107	882.377	963.297
9.000Kb	1004.481	969.898	1002.719	1023.849	917.094	884.310	965.366
10.000Kb	1006.615	971.973	1004.849	1026.015	919.082	886.243	967.434
Type	Augite	Augite	Augite	Augite	Diopside	Diopside	Augite



شکل ۱۰. (الف) تعیین سرنشیت پیروکسن‌های موجود در سنگ‌های آتشفسانی اوسن جنوب غرب چوبانان [۲۸] (ب) برآورده کلی فشار تبلور کلینوپیروکسن‌های سنگ‌های ولکانیک اوسن جنوب غرب چوبانان [۲۸]

- ترکیب کلینوپیروکسن موجود در سنگ‌های آتشفسانی اوسن جنوب غرب چوبانان از روند پیشرفت تفرق مagma مایه تبعیت می‌کند.
- با توجه به بررسی‌های انجام شده، سرنشیت magma این سنگ‌های آتشفسانی، کالک‌الکالن می‌باشد.
- موقعیت تکتونوماماگما در تشکیل سنگ‌های آتشفسانی اوسن جنوب غرب چوبانان احتمالاً یک قوس magma مرتبط با فروزانش است.

تشکر و قدردانی  
نویسنده‌گان مقاله از حمایت‌های مالی دانشگاه اصفهان تشکر می‌نمایند.

**نتیجه‌گیری**  
بر اساس بررسی‌های صحرایی، مطالعه‌ی سنگ‌شناسی و آنالیزهای مایکروروب روی کانی‌های موجود در سنگ‌های آتشفسانی اوسن جنوب غرب چوبانان نتایج زیر حاصل گردید:

- تمام پیروکسن موجود در سنگ‌های منطقه از نوع کلینوپیروکسن هستند و ترکیب آنها از دیوپسید تا اوژیت در نوسان است. همچنین هموزن بودن ترکیب کلینوپیروکسن و عدم وجود منطقه‌بندی نشان می‌دهد که این بلورها از یک magma واحد متبلور شده‌اند و تفرق چندانی در magma اولیه صورت نگرفته است.
- میزان فوگاسیته در محیط تشکیل سنگ‌ها بالا بوده است که نشان دهنده‌ی محیطی اکسیدان در هنگام شکل‌گیری این سنگ‌ها است.

- [13] Cameron, M., & Papike, J. J (1981) Structural and chemical variations in pyroxenes. *American Mineralogist*, 66(1-2), 1-50.
- [14] Droop, G.T.R (1987) A general equation for estimating of  $\text{Fe}^{3+}$  concentration in ferromagnesian silicates and oxides from microprobe analysis, using stoichiometric criteria, *Mineralogical Magazine*, 51, 431-435.
- [15] France, L., Ildefonse, B., Koepke, J., & Bech, F (2010) A new method to estimate the oxidation state of basaltic series from microprobe analyses. *Journal of Volcanology and Geothermal Research*, 189(3), 340-346.
- [16] Helz, R.T (1973) Phase relations of basalts in their melting ranges at  $\text{pH}_2\text{O} = 5 \text{ kb}$  as a function of oxygen fugacity, Part I. Mafic Phases, *Journal of Petrology*, 14, 249-302.
- [17] Le Bas, M.J., LeMaitre, R.W., Streckeisen, A., Zanettin, B (1986) A chemical classification of volcanic rocks based on the total alkali silica diagram, *Journal of Petrology*, 27, 745-750.
- [18] Le Terrier J., Maury R. C., Thonon P., Girard, D Marchal M (1982) Clinopyroxene composition as a method of identification of the magmatic affinities of paleo-volcanic series, *Earth and Planetary Science Letters*, 59, 139-54.
- [19] Moretti, R (2005) Polymerisation, basicity, oxidation state and their role in ionic modelling of silicate melts. *Annals of Geophysics.geology*, Edition techniq, Paris, 58 P.
- [20] Morimoto N., Fabrise J., Ferguson A., Ginzburg I.V., Ross M., Seifert F.A., Zussman J., Akoi K., Gottardi, G (1989) Nomenclature of pyroxenes, *Mineralogical Magazine*, 52, 535 – 55.
- [21] Nimis, P., Taylor, W. R (2000) Single pyroxene thermobarometry for garnet peridotites, Part I, Calibration and evaluation of the Cr-in-pyroxene barometer and enstatite solvus thermometer, Contributions to Mineralogy and Petrology, 139, 541-554.
- [22] Nisbet, E. G. Pearce, J. A (1977) Clinopyroxene composition in mafic lavas from different tectonic setting, *Ibid*, 63, 149-60.
- [23] Ottonello, G., Moretti, R., Marini, L., & Vetuschi Zuccolini, M (2001) Oxidation state of iron in silicate glasses and melts: a thermochemical model. *Chemical geology*, 174(1), 157-179.
- [24] Reyer, D., Mohafez, S (1972) The first contribution of the Nioc-Erap agreements to knowledge of Iranian
- [25] Schweitzer E. L., Papike J. J., Bence A. E. (1979) Statistical analysis of clinopyroxenes

## منابع

- [۱] آقانباتی، ع (۱۳۸۳) زمین‌شناسی ایران، سازمان زمین‌شناسی و اکتشافات معدنی کشور، ۵۸۶ صفحه.
- [۲] پهادران، ن (۱۳۸۵) پترولوزی و ژئوشیمی سنگ‌های ولکانیک منطقه‌ی عروسان کبودان (شمال شرق اصفهان)، پایان‌نامه‌ی کارشناسی ارشد پترولوزی گروه زمین‌شناسی دانشگاه اصفهان، ۱۳۰ صفحه.
- [۳] سیاری، م (۱۳۸۵) پترولوزی سنگ‌های آتشفشاری اوسن در شمال منطقه‌ی انارک (شمال شرق استان اصفهان)، پایان نامه‌ی کارشناسی ارشد پترولوزی، دانشگاه اصفهان، ۱۲۰ صفحه.
- [۴] عطاپور، ح، "زمین‌شناسی و سنگ‌شناسی و ژئوشیمی سنگ‌های شوشوونیتی ایران زمین"، سازمان زمین‌شناسی کشور، گزارش داخلی (۱۳۷۳) ص ۱۴۱.
- [۵] نبوی، م. ح (۱۳۵۵) دیباچه‌ای بر زمین‌شناسی ایران، انتشارات سازمان زمین‌شناسی، ۱۰۹ صفحه.
- [۶] Ahmadian, J., Haschke, M., McDonald, I., Regelous, M., Ghorbani, M., Emami, M. H., Murata, M (2009) High magmatic flux during Alpine-Himalayan collision: Constraints from the Kal-e-Kafi complex, Central Iran, *Geological Society of America Bulletin*, 121(5-6), 857-868.
- [۷] Aistov L., Melnikov B., Krivyakin B., Morozov L (1984) Geology of the Khur area (Central Iran), Explanatory text of the Khur quadrangle, map 1:250,000.
- [۸] Alavi M (1991) Sedimentary and structural characteristics of the paleo – Tethys remnants in northeastern Iran, *Geological Society of American Bulletin*, 103, 983 – 992.
- [۹] Aoki, K., I. Shiba (1973) Pyroxenes from Iherzolite inclusions of Itinom e-gata, Japan, *Lithos*, 6, 41-51
- [۱۰] Beccaluva, L., Macciotta, G., Piccardo, G. B., & Zeda, O (1989) Clinopyroxene composition of ophiolite basalts as petrogenetic indicator. *Chemical Geology*, 77(3), 165-182.
- [۱۱] Berger, J., O. Femenias, J. C. C. Mercier, Demaiffe, D (2005) Ocean-floor hydrothermal metamorphism in the Limousin ophiolite (Western French Massif Central), Evidence of a rare preserved Variscan oceanic marker, *Journal of Metamorphic Geology*, 23, 795-812.
- [۱۲] Botcharnikov, R. E., Koepke, J., Holtz, F., McCammon, C., & Wilke, M (2005) The effect of water activity on the oxidation and structural state of Fe in a ferro-basaltic melt. *Geochimica et Cosmochimica Acta*, 69(21), 5071-5085.

- from deep-sea basalts, American Mineralogist, 64, 501-13.
- [26] Shtöcklin, J (1968) Structural history and tectonics of Iran, a review, American Association Petroleum Geologists Bulletin, 52, 7.
- [27] Sun, S. S., McDonough, W.F (1989) Chemical and isotopic systematics of oceanic basalts: implications for mantle composition and processes. In: Saunders, A.D., Norry, M.J. Eds., Magmatism in Ocean Basins, Geological Society London Special Publication, London, 313–345.
- [28] Thompson, R. N (1974) Some high-pressure pyroxenes. Mineral. Mag, 39, 768-787.
- [29] Yakovenko, V., Chinakov, I., Kokorin, Yu., Krivyakin, B (1981) Report on detailed geological prospecting in Anarak Area (Kale-Kafi-Khoni Locality), V/O <<Technoexport>>, Rep. No.13, Moscow, 293 P.